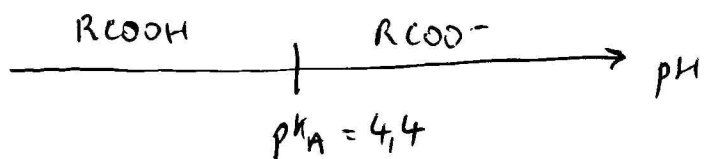


Q26) * Diagramme de prédominance de l'ibuprofène RCOOH:



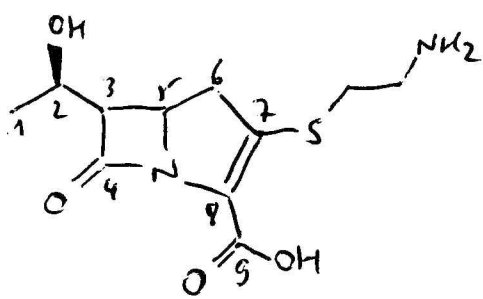
- * Par définition, la solubilité de RCOOH(s) (ibuprofène) correspond à la quantité de matière de RCOOH(s) qui s'est solubilisée jusqu'à saturation (par litre de solution) $\Rightarrow \boxed{\alpha = [\text{RCOOH(aq)}] + [\text{RCOO}^-]}$
 - * Or $K_A = \frac{[\text{RCOO}^-][\text{H}^+]}{[\text{RCOOH}]_{(\text{aq})}} \Rightarrow \alpha = [\text{RCOOH}]_{(\text{aq})} \left(1 + \frac{K_A}{[\text{H}^+]}\right)$
 - * De plus, à saturation: $K_S = \frac{[\text{RCOOH(aq)}]}{\alpha \text{RCOOH(s)}} = [\text{RCOOH(aq)}]$
 $\alpha_{\text{saturation}} = 1$
- Conclusion : $\boxed{\alpha = K_S \left(1 + \frac{K_A}{[\text{H}^+]}\right) = K_S \left(1 + K_A \cdot 10^{\text{pH}}\right)}$

* expressions approchées:

- | |
|---|
| <ul style="list-style-type: none"> • pour $\text{pH} < pK_A$: RCOOH prédomine
 $\Rightarrow \alpha \approx K_S = \text{cte}$ • pour $\text{pH} > pK_A$: RCOO⁻ prédomine
 $\Rightarrow \alpha \approx K_S K_A \cdot 10^{\text{pH}}$ (forme exponentielle) |
|---|

Q27) (+) signifie dextrogyre. La (+) biénamycine dévie le plan de polarisation d'une lumière polarisée plane dans le sens horaire (pour la lumière arrivant vers l'observateur).

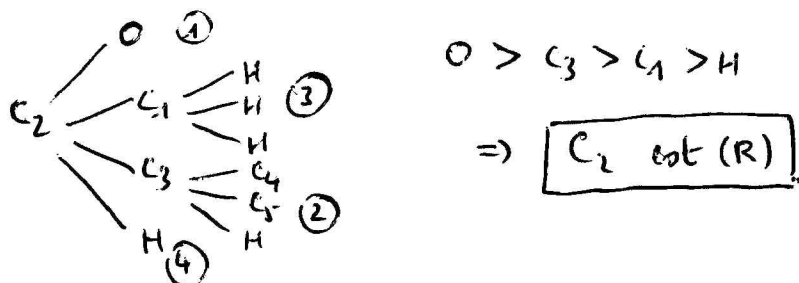
Q28)



* double liaison $C_7=C_8$:
 $C_7 \begin{cases} S & \textcircled{1} \\ C_6 & \textcircled{2} \end{cases}$ or $Z_S > Z_C$
 $C_8 \begin{cases} N & \textcircled{1}' \\ C_9 & \textcircled{2}' \end{cases}$ or $Z_N > Z_C$

d'après les règles de Cahn, Ingold et Prelog, comme N et S sont de part et d'autre : $C_7 = C_8$ est (E)

* carbone asymétrique C_2 :



Q29) . 3 carbones asymétriques (C_2, C_3, C_5)

- . la double-liaison $C_7=C_8$ ne peut être que de configuration (E) puisqu'elle est impliquée dans le cycle.
- . \Rightarrow au plus $2^3 = 8$ stéréoisomères
- . aucune symétrie \Rightarrow exactement 8 stéréoisomères

Q30) . choix de $\lambda = 300 \text{ nm}$: le taux Im absorbe beaucoup plus (courbe A) à 300 nm que le produit \Rightarrow suivre cinétique à 300 nm adapté.

- . $[Im]_0 = 6,0 \cdot 10^{-3} \text{ mol} \cdot \text{l}^{-1} \Rightarrow A_{\text{initial}} = \epsilon l [Im]_0$
 où $\epsilon_{300 \text{ nm}} \approx 10 \text{ L mol}^{-1} \cdot \text{cm}^{-1}$ a priori
 d'après la figure 9 ("molar absorptivity")
 donc, si $l = 1 \text{ cm}$ (classique) : $A_{\text{initial}} \approx 0,06$ faible
 \Rightarrow on utilisera une cuve de largeur $l = 10 \text{ cm}$ pour avoir $A_0 \approx 0,60$ (mesure très précise)

- Concentration des tampons $[H_2PO_4^-]_0 = [NaHPO_4]_0 \gg [Im]_0$
 \Rightarrow le pH ne varie pas

Calcul du pH :

$$pH = pK_A + \log \frac{[HPO_4^{2-}]}{[H_2PO_4^-]} = pK_A = 7,2$$

$[HPO_4^{2-}] = [NaHPO_4]$

(Q31) * Le nuage de point est davantage aligné sur la figure 11:

$\ln A = f(t)$, avec des points répartis également le long de l'autre de la droite de régression, qui passe à l'intérieur de tous les intervalles élargis (z -score ≤ 2 , soit incertitude élargie = 2. incertitude type)

\Rightarrow ordre 1

* démonstration: si ordre 1 $\Rightarrow v = k(Im)^n$

$$\text{avec } v = -\frac{d(Im)}{dt} \Rightarrow \ln(Im) = \ln(Im_0) - kt$$

$$\Rightarrow \ln \frac{A}{v \cdot e} = \ln \frac{A_0}{v \cdot e} - kt \Rightarrow \boxed{\ln A = \ln A_0 - kt}$$

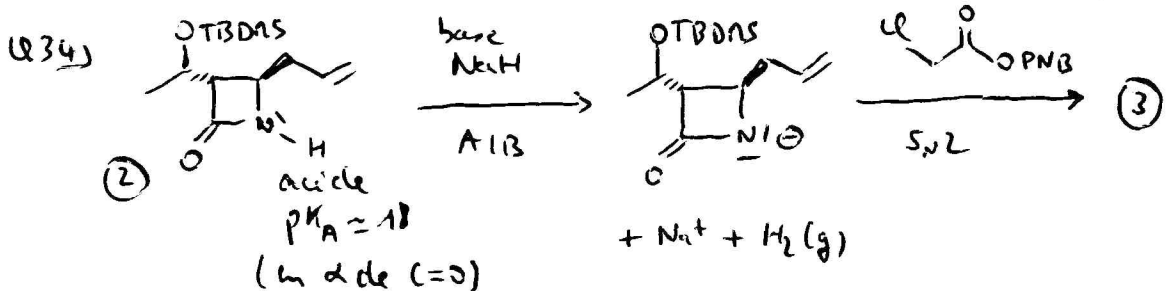
* $k = -\text{pente} = 0,0397 \text{ h}^{-1}$

(Q32) A $t_{1/2}$, on a: $[Im] = \frac{[Im]_0}{2}$

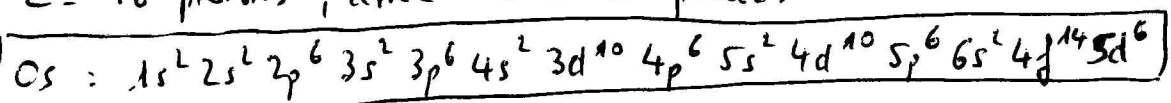
$$\Rightarrow \ln\left(\frac{[Im]_0}{2}\right) = \ln[Im]_0 - kt_{1/2}$$

$$\Rightarrow \boxed{t_{1/2} = \frac{\ln 2}{k}} = 17,5 \text{ h} \quad \text{indépendant de } [Im]_0$$

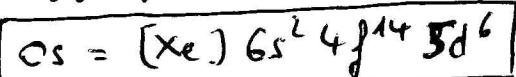
(Q33) LiAlD_4 (Li est nuclophile (carbone δ -nuclophile))



Q35) D'après les règles de Klechkovski, Pauli (et Hückel), avec $Z = 76$ protons, donc 76 e⁻ à placer:

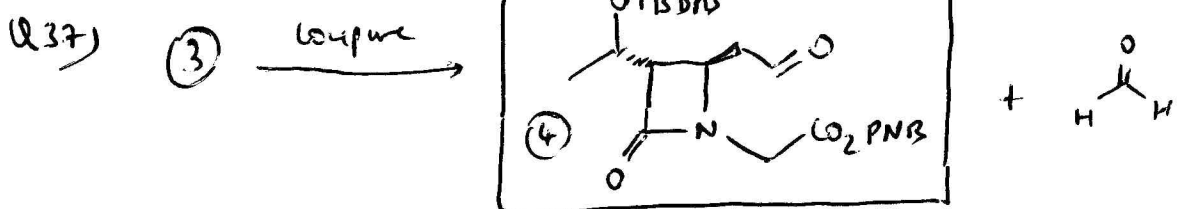
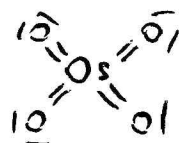


Autre possibilité: Os se situe dans la 6^e période et la 8^e colonne du tableau périodique, donc:

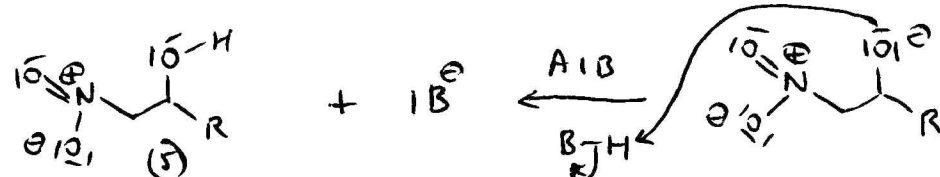
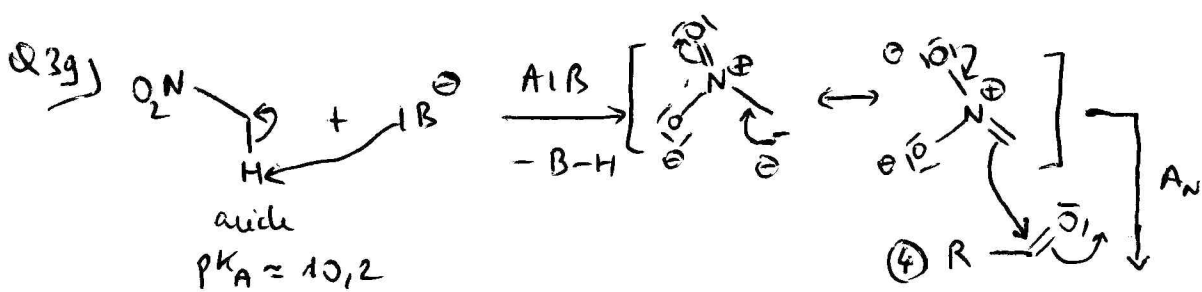


Q36) Os possède 8 e⁻ de valence ($2e^- 6s + 6e^- 5d$)

⇒ lewis de OSO_4 ($8 + 4 \times 6 = 32$ e⁻ de valence):

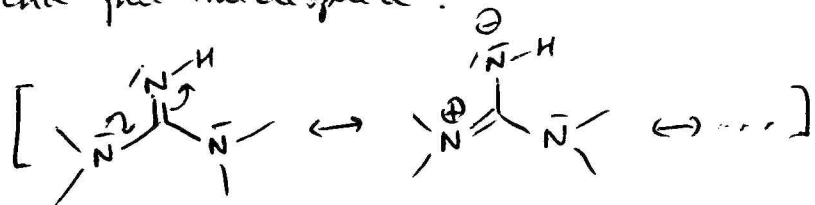


Q38) L'alternative e₂, 2 e⁻ coulante car OSO_4 (éther) est utilisée en quantité catalytique. De plus, OSO_4 est toxique, son utilisation en petite quantité est e⁻ dangereuse.

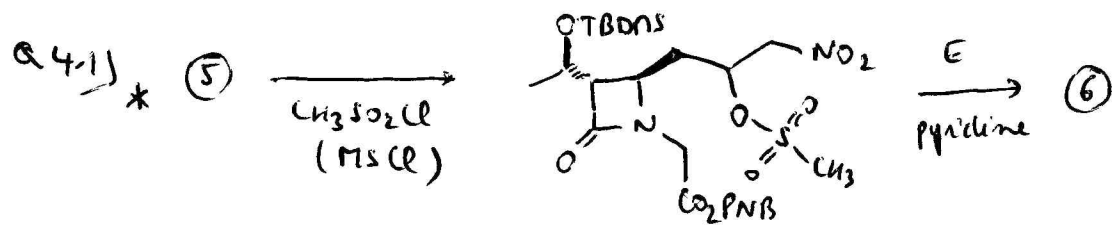


Q40) La base doit être assez forte ($pK_A > 10$) pour arracher le H en 2 de NO_2 , mais aussi peu nucléophile (éviter l' A_n-E sur l'amide et l'ester présent dans ④):

⇒ la tétraméthylguanidine semble convenir car son $pK_A = 13,6$ est assez > 10,2 et son dual délocalisé et encombre le end peu nucléophile :

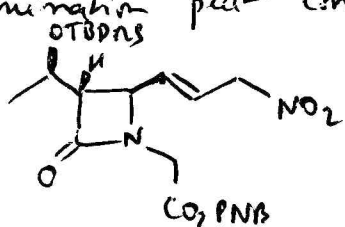


rem : HO^- , de $pK_A = 14$, est nucléophile ⇒ à éviter car risque de saponification de l'ester et d'hydrolyse basique de l'amide.

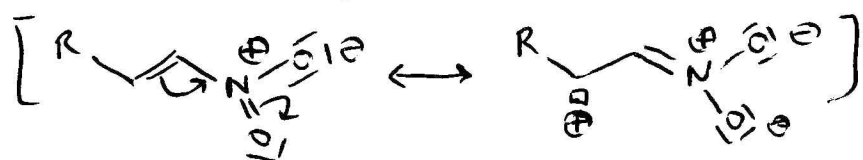


l'utilisation de MsCl permet d'activer l'alcool ⑤ et d'obtenir un bon groupe partant OSO_2^+ stabilisé par mésomérie : $[\text{O}=\ddot{\text{S}}-\text{CH}_3 \leftrightarrow \text{O}=\ddot{\text{S}}^+-\text{CH}_3 \leftrightarrow \dots]$

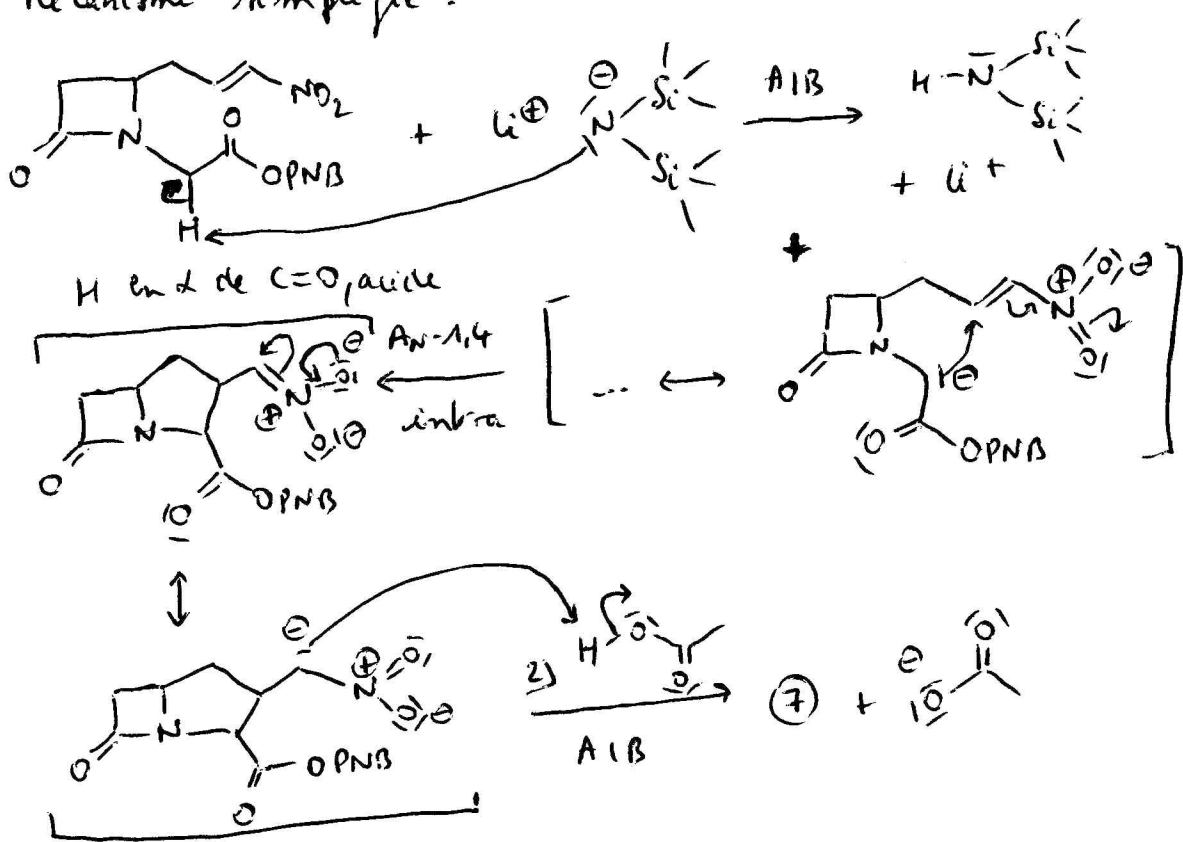
* la réaction d'élimination peut conduire à ⑥ et 1 autre alcène :



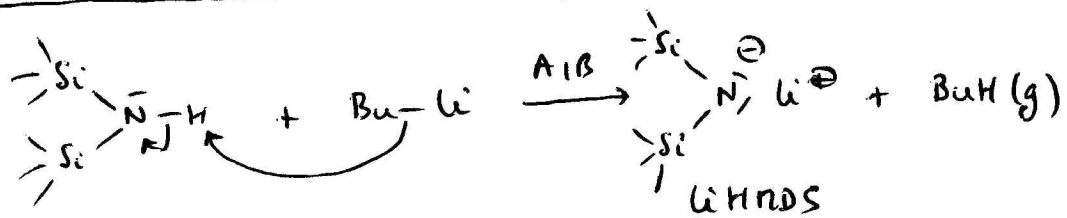
on obtient majoritairement ⑥, car ⑥ est conjugué, donc ④ stable, donc majoritaire sous contrôle thermodynamique (règle de Saitter) :



Q42) Réaction simplifiée :



Q43) La première partie du protocole devait permettre de former la base LiHNS . Équation-bilan :



Q44) * L'ajout de la solution aqueuse salée en NaCl permet d'éliminer les espèces solubles en phase aqueuse (ainsi Li^+ et ce^e formé et présents dans le milieu réactionnel), tout en évitant de solubiliser les molécules organiques (pas solubles dans l'eau salée).

* extraire à l'acétate d'éthyle permet de réupérer le produit organique ⑧ (et les traces de réactif ⑦). Extraire 1 deuxième fois permet de réupérer les traces de ⑧ encore au contact de la phase aqueuse.

Q45) La phase organique est secchée sur sulfate de magnésium analytique, puis Na_2SO_4 est filtré et enfin le solvant EtOAc est évaporé sous pression réduite à l'évaporateur rotatif.

Q46) Quantités initiales des réactifs :

$$n_{\text{HNO}_3} = \frac{m}{M} = \frac{69 \cdot 10^{-3}}{161,4} = 4,28 \cdot 10^{-4} \text{ mol}$$

$$n_{\text{BuLi}} = c_{\text{BuLi}} V_p = 1,25 \times 0,32 \cdot 10^{-3} = 4,13 \cdot 10^{-4} \text{ mol}$$

$$n_{\text{⑦}} = \frac{m_{\text{⑦}}}{M_{\text{⑦}}} = \frac{198 \cdot 10^{-3}}{495,1} = 4,00 \cdot 10^{-4} \text{ mol}$$

$$n_{\text{PhSeCl}} = \frac{m}{M} = \frac{90 \cdot 10^{-3}}{191,5} = 4,70 \cdot 10^{-4} \text{ mol}$$

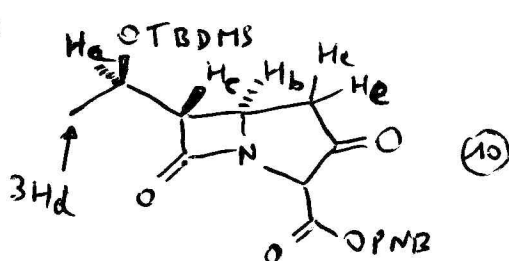
\Rightarrow avec des coefficients stoechiométriques tous égaux, on en déduit que ⑦ est le réactif limitant.

Donc : $n_{\text{⑦ théorique}} = n_{\text{⑦ initial}}$

* rendement : $\text{rdt} = \frac{n_{\text{⑦ exp}}}{n_{\text{⑦ th}}} = \frac{n_{\text{⑦ exp}}}{n_{\text{⑦ i}}} \times \frac{1}{n_{\text{⑦ i}}} = \frac{2,83 \cdot 10^{-4}}{4,00 \cdot 10^{-4}}$

$$\Rightarrow \boxed{\text{rdt} = 71\%}$$

Q47)



δ (ppm)	Attribution	Justification
4,13	1 H_a	m car couple' en ^{3}J à 3 H_d en à 1 H_c
4,14	1 H_b	td car couple' à 2 H_e + 1 H_c
3,15	1 H_c	dd car couple' à 1 H_a + 1 H_b
1,28	3 H_d	d car couple' à 1 H_a en ^{3}J où $J = 6 \text{ Hz}$

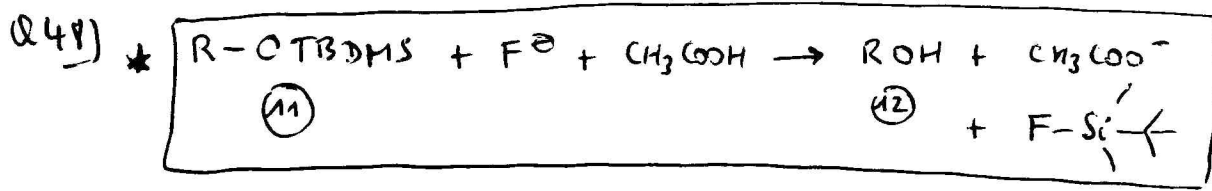
rem : couplages :
(réiproques)

$$J_{ac} = 5,1 \text{ Hz} = J_{ca}$$

$$J_{ad} = 6 \text{ Hz} = J_{da}$$

$$J_{bc} = 1,9 \text{ Hz} = J_{cd}$$

$$J_{be} = 7,4 \text{ Hz}$$



car Fe^\ominus réalise une $S_{\text{N}}2$ sur (11) et CH_3COOH apporte le proton nécessaire pour protonner RO^\ominus

- * le groupe TBDS-{} permet de protéger la fonction alcool, sinon elle aurait réagi :
 - avec l'organocuprate (LiAlD_4) (base forte) par réaction AIB lors de l'étape (1) \rightarrow (2)
 - avec MsCl lors de l'étape (5) \rightarrow (6)
 - avec LiHMDS par réaction AIB (étape (6) \rightarrow (7)) et (8)).